

آندایزینگ آلیاژ آلومینیوم T3-2024 در الکتروولیت ترکیبی اسید سولفوریک، بوریک و فسفریک و تعیین ضخامت لایه اکسیدی و بررسی رفتار خوردگی به روش امپدانس الکتروشیمیایی

محسن سعیدی خانی^{۱*}، مهدی جاویدی^۲، یزدانی^۳ و ساره وفاخواه^۴

چکیده

بمنظور افزایش مقاومت به خوردگی آلیاژ آلومینیوم T3-2024، عملیات آندایزینگ در دمای محیط در الکتروولیت ترکیبی با درصد های وزنی گوناگون از اسید سولفوریک، بوریک و فسفریک انجام شد. آندایزینگ در مدت زمان های ۱۰ و ۲۰ دقیقه و چگالی جریان های 1 mA/cm^2 و 2 mA/cm^2 انجام شد. از روش امپدانس الکتروشیمیایی جهت مطالعه رفتار خوردگی آلیاژ آندایز شده در محیط آبی حاوی $3/5$ درصد وزنی نمک طعام استفاده شد و با استفاده از مدار الکتریکی معادل مناسب، پارامترهای خوردگی مربوط به لایه اکسیدی مشخص و با ارایه یک راه کار ساده با استفاده از روش امپدانس الکتروشیمیایی، ضخامت لایه اکسیدی تعیین گردید. در نهایت، برای مقایسه نرخ خوردگی نمونه های آندایز شده از روش برون یابی تا福 استفاده شد. نتایج بیانگر مقاومت به خوردگی مناسب آلیاژ آندایز شده در الکتروولیت ترکیبی می باشد. این الکتروولیت به دلیل عدم استفاده از یون کرومات و ایجاد مقاومت به خوردگی مناسب آلیاژ آندایز شده می تواند جایگزینی مناسب برای حمام های کرومات که مشکلات زیست محیطی دارند و بیشتر جهت آندایزینگ آلیاژ آلومینیوم T3-2024 بکار می روند. باشد.

واژه های کلیدی: آندایزینگ، آلیاژ T3-2024، الکتروولیت ترکیبی، امپدانس الکتروشیمیایی.

۱- دانشجوی کارشناسی ارشد مهندسی و علم مواد، دانشگاه شیراز.

۲- استادیار بخش مهندسی و علم مواد، دانشگاه شیراز.

۳- مری گروه مهندسی و علم مواد، دانشگاه صنعتی مالک اشتر، شیراز.

۴- دانشجوی کارشناسی ارشد مهندسی و علم مواد، دانشگاه شیراز.

*- نویسنده مسئول مقاله: mjavid@shirazu.ac.ir و mjavid@yahoo.com

پیشگفتار

فرایند آندازینگ می‌تواند مقاومت به خوردگی آلمینیوم و آلیاژهای آن را بهبود بخشد^[۱]. وارد کردن پتانسیل آندی به نمونه آلمینیومی که در یک الکتروولیت مناسب غوطه‌ور شده، منجر به رشد لایه اکسیدی می‌گردد. در الکتروولیتهایی مانند اسید سولفوریک و اسید کرومیک، لایه‌های اکسیدی دارای یک لایه داخلی نازک، نامتلخلخل و متراکم که به آن لایه مانع گویند و یک لایه خارجی متخلخل می‌باشند. لایه متخلخل از سلول‌های شش وجهی با ساختار لانه زنبوری تشکیل شده که دارای حفرات عمود بر سطح فلز بوده و معمولاً 10^{-3} برابر ضخیم تر از لایه مانع می‌باشد. مقاومت به خوردگی لایه متخلخل را می‌توان با عملیات آب‌بندی افزایش داد که نقشی مهم در کاهش تخلخل لایه اکسیدی دارد^[۲]. آب‌بندی، آخرین مرحله شیمیایی در فرایند اکسیداسیون آندی است. در حین آب‌بندی اکسید موجود در لایه به ایجاد شده بر AlOOH و $\text{Al}_2\text{O}_3 \cdot \text{H}_2\text{O}$ هیدراته می‌شود تا حفرات لایه اکسیدی مسدود گردد. فرایند آب‌بندی با تشکیل پلاگ^۱ منجر به کاهش سطح حفرات می‌شود. پس از آب‌بندی، حفره‌های پوشش یکنواخت شده و موجب حفاظت فلز پایه در مقابل خوردگی می‌شوند^[۱].

بمنظور جایگزینی حمام‌های آندازینگ آلمینیوم حاوی Cr^{+VI} پژوهش‌های زیادی انجام یافته است^[۳]. هرچند استفاده از حمام حاوی یک نوع الکتروولیت مانند اسید کرومیک^[۴]، اسید سولفوریک^[۵] و اسید فسفریک^[۶] جهت آندازینگ آلمینیوم کاربردی گستردۀ دارد، اما در سال‌های اخیر از حمام‌های حاوی اسیدهای ترکیبی نیز استفاده شده که منجر به بهبود ویژگی‌های الکتروشیمیایی لایه اکسیدی شده است^{[۷] و [۸]}. پوشش ناشی از آندازینگ در الکتروولیت اسید فسفریک قلیاً سنباده از جنس SiC تا شماره ۱۲۰۰ چسبندگی مناسبی دارد، اما به دلیل نازک بودن لایه اکسیدی و وجود حفرات بزرگ در ساختار آن مقاومت به خوردگی پایینی از خود نشان می‌دهد، اما لایه اکسیدی ناشی از حمام اسید سولفوریک یا اسید بوریک مقاومت به خوردگی بهتری داشته، اما چسبندگی به مراتب کمتری دارد^[۹].

مواد و روش پژوهش

تعیین ترکیب شیمیایی، آماده‌سازی سطحی و آندازینگ

ترکیب شیمیایی نمونه‌های تهیه شده از آلیاژ آلمینیوم T3-2024 با دستگاه کوانتمتر مدل فاندری مستر^۲ مورد بررسی قرار گرفت. نمونه‌ها با استفاده از کاغذهای سنباده از جنس SiC تا شماره ۱۲۰۰ سنباده زنی و سپس با آب مقطر شسته شدند. جهت چربی زدایی، نمونه‌ها قلیاً سنباده از جنس SiC تا شماره ۱۲۰۰ روش پولیش شیمیایی استفاده شد. پس از مراحل قلیاً سنباده از جنس SiC تا شماره ۱۲۰۰، سطح آلیاژ بسیار فعال و مستعد اکسید شدن است. برای جلوگیری از این امر، روش دوده زدایی استفاده شد. پس از هر مرحله نمونه‌ها با آب مقطر شسته و با جریان هوای سرد خشک شدند. ترکیب

^۲- Electrochemical Impedance Spectroscopy.

^۳- Foundry Master.

^۱- Plug.

جهت آزمایش‌های الکتروشیمیایی از روش متداول سه الکتروود استفاده شد. نمونه آندازی شده به عنوان الکتروود کار، الکتروود Ag/AgCl حاوی محلول ۱ مولار KCl به عنوان الکتروود مرجع و الکتروود پلاتین به عنوان الکتروود کمکی استفاده شد. بمنظور تعیین پتانسیل مدار باز الکتروودها، نمونه‌ها به مدت ۴۰ دقیقه در الکتروولیت مورد نظر غوطه ور شده و بلافاصله آزمون‌های امپدانس و تافل انجام یافت. در آزمون امپدانس الکتروشیمیایی از موج سینوسی با دامنه ولتاژ ۵ میلی ولت و دامنه فرکانس^۱ ۱۰ تا^۲ ۱۰ هرتز استفاده گردید و داده‌ها با نمودار نایکوئیست نمایش داده شدند. پولاریزاسیون از ۳۰۰ میلی ولت پایین‌تر از پتانسیل مدار باز شروع و با نرخ ۱ میلی ولت بر ثانیه، تا ۳۰۰ میلی ولت بالای پتانسیل مدار باز ادامه یافت. آزمون EIS و تافل با استفاده از دستگاه پتانسیوماستات مدل میکرو اتولاف نوع^۳ ۱۳ و آنالیز نتایج با نرم افزارهای^۲ FRA و GPES^۳ انجام شد.

نتایج و بحث

ترکیب شیمیایی آلیاژ مورد استفاده در این پژوهش در جدول ۴ آورده شده است. پس از پولیش شیمیایی آلیاژ، مشاهده گردید که لایه‌ای از ذرات مس روی سطح آلومینیوم را سب شده‌اند. مس بر ویژگی‌های الکتروشیمیایی آلیاژ‌های سری ۲۰۰۰ به شدت اثر گذار است، تعییر غلظت مس در محلول جامد منجر به تعییر در پتانسیل الکتروود و در نتیجه، ایجاد پیل‌های گالوانیکی موضعی می‌شود. همچنین، در پروسه خوردگی الکتروشیمیایی، ذرات مس با راسب شدن روی سطح آلومینیوم مکان‌های کاتدی کوچکی را تشکیل داده و منجر به تشکیل پیل‌های گالوانیکی موضعی جدید می‌شوند^[۱۲]. این ذرات به راحتی با جریان آب پاک شدن. چون در مرحله پولیش شیمیایی خروج مس از آلیاژ مشاهده گردید، برای اطمینان از حفظ ترکیب شیمیایی آلیاژ، پس از پولیش شیمیایی دوباره نمونه به روش کوانتمتری آنالیز شیمیایی گردید که با توجه به نتایجه‌ای

شیمیایی محلول‌های مورد استفاده در هر مرحله برای آماده سازی سطحی در جدول ۱ آورده شده است. از یک قطعه سربی به عنوان الکتروود کاتد استفاده شد. جهت اعمال جریان مستقیم، از یک منبع تغذیه ساده با حداکثر توان ۴۰ ولت و ۴ آمپر استفاده شد و یک مولتی متر دیجیتالی، جهت قرائت دقیق جریان در هر لحظه، به صورت سری در مدار قرار داده شد. برای توزیع بهتر جریان در سطح، آلیاژ آلومینیومی در جهت عمود بر کاتد در پیل الکتروشیمیایی قرار داده شد. پس از تشکیل سلول آندازیزینگ، منبع تغذیه روشن و ولتاژ با ترتیب ثابتی تا رسیدن به چگالی جریان مورد نظر افزایش داده شد و فرایند آندازیزینگ به مدت زمان مورد نظر ادامه داده شد. جهت جلوگیری از پولاریزاسیون‌های آندی یا کاتدی در طول پروسه، از یک همزن مغناطیسی (به گونه‌ای که در الکتروولیت تلاطم ایجاد نشود) استفاده گردید تا ترکیب شیمیایی الکتروولیت همواره در حین فرایند یکنواخت باشد. در طول پروسه، بمنظور ثابت نگه داشتن جریان، ولتاژ تعییر داده شد. پس از پایان عملیات، نمونه از حمام خارج و با آب مقطر شستشو داده شد و با جریان هوای سرد خشک گردید.

جهت آندازیزینگ از الکتروولیت ترکیبی با زمینه اسید سولفوریک با غلظت ۱۰٪ وزنی حاوی چهار غلظت متفاوت از اسید بوریک و اسید فسفریک استفاده شد. ترکیب شیمیایی الکتروولیت‌های مورد استفاده در جدول ۲ آورده شده است. در این مرحله، فرایند آندازیزینگ به مدت ۱۰ دقیقه با چگالی جریان^۱ mA/cm^۲ انجام شد. سپس الکتروولیتی که نمونه آندازی شده در آن دارای بالاترین مقاومت به خوردگی بود، به عنوان الکتروولیت بهینه در نظر گرفته شد و جهت بررسی اثر زمان و چگالی جریان آندازیزینگ بر مقاومت به خوردگی آلیاژ مورد مطالعه قرار گرفت. جدول ۳ شرایط آندازیزینگ در مدت زمان و چگالی جریان‌های متفاوت را در الکتروولیت بهینه نشان می‌دهد.

آزمون‌های الکتروشیمیایی

بمنظور بررسی رفتار خوردگی نمونه‌های آندازی شده در محیط آبی حاوی ۳/۵ درصد وزنی نمک طعام، از روش امپدانس الکتروشیمیایی و برون یابی تافل استفاده شد.

^۱- μAutolab type III.

^۲- Frequency Response Analysis.

^۳- General Purpose Electrochemical System.

$$CPE=1/(Y_0(j\omega)^n) \quad (1)$$

پارامترهای n_{C1} و n_{C2} برای در نظر گرفتن رفتار آن ایده آل خازن‌های C_1 و C_2 بکار می‌رود [۱۴]. پارامتر Y_0 مقدار عددی ادمیتانس^۳ می‌باشد و مقدار ادمیتانس معکوس مقدار امپدانس است. پارامتر n ، فاکتور پراکنده‌گی فرکانس می‌باشد و از 0 تا 1 تغییر می‌کند و به عوامل متعددی از جمله درجه خشندی سطح مربوط می‌شود [۱۵]. تنها در حالت $n=1$ ، C_1 و C_2 می‌توانند خازن‌های آن ایده آل در نظر گرفته شوند.

نمودار نایکوئیست آلیاژ‌های آندایز شده در الکتروولیت‌های حاوی غلظت‌های متفاوت از اسید در شکل ۳ و مشخصه‌های امپدانس الکتروشیمیایی نمونه‌ها در جدول ۶ آورده شده است. به دلیل رسانایی بالای الکتروولیت درون حفره‌های لایه متخلخل امکان شناسایی مشخصه‌های آن وجود ندارد. به همین دلیل، در نمودار نایکوئیست تنها یک قوس در فرکانس‌های پایین مشاهده می‌شود که مربوط به لایه مانع می‌باشد [۱۴]. پارامترهای مشخص کننده لایه اکسیدی آب بندی نشده عبارتند از: R_1 ، R_2 و n_{C2} . مدار معادل به صورت شکل ۴ خلاصه می‌شود. همچنین، نمودار تألف آلیاژ‌های آندایز شده در الکتروولیت‌های (الف) تا (د) در شکل ۵ و نتایج آن در جدول ۷ آمده است.

به دلیل پراکنده‌گی زیاد داده‌ها در فرکانس‌های پایین، تخمین R_2 مشکل است با این حال، نتایج بدست آمده در این پژوهش، به نتایج بدست آمده از دیگر کارهای پژوهشی نزدیک می‌باشد [۱۶]. با توجه به نتایج جداول ۶ و ۷ آلیاژ آندایز شده در الکتروولیت (ب) بالاترین مقاومت به خوردگی (یا پایین ترین نرخ خوردگی) را دارد. همان‌گونه که پیشتر گفته شد، پوشش ناشی از آندایزینگ در حمام‌های حاوی اسید سولفوریک و اسید بوریک مقاومت به خوردگی مناسبی از خود نشان می‌دهند [۹]. بنابراین، با ثابت بودن غلظت اسید سولفوریک، به نظر می‌رسد با افزایش غلظت اسید بوریک تا حد خاصی در الکتروولیت ترکیبی مقاومت به خوردگی آلیاژ آندایز شده (آلیاژ آندایز شده در الکتروولیت (ب)) افزایش یابد، اما از سوی دیگر، مشاهده می‌شود، با این که

که در جدول ۵ آورده شده است تغییر محسوسی در ترکیب شیمیایی آلیاژ مشاهده نشد. ذرات مس مکان‌های کاتدی مناسبی برای احیا اکسیژن و در نتیجه، افزایش نرخ خوردگی آلیاژ‌های آلومینیوم-مس می‌باشند. در صورتی که فصل مشترک فلز / اکسید غنی از ذرات مس باشد، احتمال تشکیل حباب‌های اکسیژن در این مکان‌ها وجود دارد که نتیجه آن ایجاد ترک‌های میکروسکوپی در پوشش می‌باشد [۱۲].

مشخصه‌های امپدانس الکتروشیمیایی لایه‌های آندایز بندی نشده

همان‌گونه که پیش‌تر اشاره شد، لایه اکسید آلومینیوم حاوی یک لایه بسیار نازک و متراکم داخلی و یک لایه ضخیم و متخلخل خارجی می‌باشد. برای تشریح رفتار الکتروشیمیایی لایه اکسیدی نازک و متراکم، دو بخش متراکم و متخلخل جدا و مستقل از یکدیگر در نظر گرفته شدند. ویژگی‌های الکترونیکی و دی الکتریکی هر لایه با استفاده از خازن و مقاومت‌هایی که به صورت سری و موازی با یکدیگر قرار گرفته‌اند، بیان می‌گردد [۱۴]. مدارهای معادل بسیاری جهت بررسی ویژگی‌های لایه اکسیدی با استفاده از روش امپدانس الکتروشیمیایی پیشنهاد گردیده [۱۴] که از این میان مدار معادل شکل ۱ جهت مدل سازی لایه اکسیدی، به طور مقبولی مورد استفاده قرار گرفته است.

در این مدل، R_S مقاومت الکتریکی محلول آب نمک $15 \Omega \cdot \text{cm}^2$ وزنی بوده که مقدار آن تقریباً برابر با $15/35\%$ می‌باشد. یکی از شاخه‌های موازی حاوی R_3 و C_3 است که بیانگر سلول‌های شش وجهی لایه اکسیدی می‌باشند. به دلیل بالا بودن مقدار R_3 و پایین بودن مقدار C_3 ، این پارامترها از مدار معادل حذف می‌شوند [۱۴] به بیان دیگر، دیواره‌های سلول‌های شش وجهی از عبور جریان جلوگیری می‌کنند. در این حالت مدار معادل شکل ۱ به فرم ساده شده شکل ۲ در می‌آید، اما با این وجود، لایه‌های متخلخل و متراکم ناهمگونی‌هایی دارند که رفتار این لایه‌ها با تعریف عنصر فاز ثابت (CPE^1) بهتر شبیه سازی می‌شود. تا استفاده از خازن ساده (به رابطه (۱) مراجعه شود).

²-Admittance

¹-Constant Phase Element.

که عنصر فاز ثابت به حافظن ایده آل نزدیک باشد. با توجه به جدول ۸ مشخص است که مقادیر n_{C2} به ۱ نزدیک می‌باشند، این امر نشانگر ایجاد لایه مانع با سطح هموار و همگن می‌باشد.

از عوامل موثر بر خوردگی آلیاژ T3-2024 حضور یون مس در لایه اکسید آلومینیوم می‌باشد. در حین رشد فیلم اکسیدی، احیا اکسیژن به وسیله اکسیداسیون آب بر سطح آلومینیوم خالص قابل صرف نظر است چون به دلیل مقاومت بالای لایه اکسیدی انتقال الکترون از فصل مشترک لایه اکسیدی/الکترولیت به سمت فلز ناچیز است، اما عناصر آلیاژی اصلی، مانند مس یا ترکیبات بین فلزی حاوی مس می‌توانند مکان‌های کاتدی مناسبی جهت احیا اکسیژن باشند. یون مس می‌تواند به دو حالت Cu^{+2} و Cu^{+} موجود باشد که می‌تواند امکان تبادل الکترون را فراهم کند. در نتیجه، رسانایی الکتریکی پوشش را بالا می‌برد [۱۸]. یکی از معیارهای مقایسه رسانایی الکتریکی (یا مقاومت الکتریکی) پوشش اکسید آلومینیوم، استفاده از ظرفیت خازنی می‌باشد [۱۴]. به این صورت که هرچه مقدار ظرفیت خازن کمتر باشد، با مصرف جریان کمتری شارژ شده و از مدار خارج می‌گردد (مانند نمونه ۲ از شکل ۶). با خارج شدن خازن از مدار دیگر جریان برقرار نیست زیرا با شارژ شدن خازن، جریان از آن عبور نمی‌کند و مدار قطع می‌شود. لایه اکسیدی متراکم روی سطح آلومینیوم نیز چنین حالتی دارد و مانند یک خازن پس از شارژ شدن کامل، با خارج شدن از مدار، مدار الکتریکی را قطع کرده و در نتیجه، نرخ خوردگی فلز را کاهش می‌دهد. از رابطه (۲) مشخص است که هرچه ضخامت لایه اکسیدی بیش‌تر باشد، مقاومت الکتریکی (R_2) افزایش و ظرفیت خازنی کاهش می‌یابد، یعنی با افزایش ضخامت، مهاجرت یون‌های Al^{+3} و O^{-2} آهسته‌تر می‌شود. با توجه به این موضوع و نتایج جدول ۸ مشخص است که نمونه ۲، بیش‌ترین ضخامت لایه اکسیدی و کمترین مقدار C_2 و در نتیجه، بیش‌ترین مقاومت به خوردگی را دارد. از شکل ۶ نیز قابل مشاهده است که نمونه ۲ بیش‌ترین مقاومت به خوردگی را دارد.

در آلیاژهای آلومینیوم ۲۰۲۴ آندازی شده، خوردگی حفره‌ای در فصل مشترک فلز/اکسید تمایل به گسترش

الکترولیت (د) حاوی درصد بیش‌تری از اسید بوریک نسبت به الکترولیت (ج) می‌باشد، آلیاژ آندازی شده در الکترولیت (د) مقاومت به خوردگی پایین‌تری نسبت به آلیاژ آندازی شده در الکترولیت (ج) از خود نشان می‌دهد که دلیل آن می‌تواند افزایش بیش از حد غلظت اسید در الکترولیت (د) باشد که قدرت الکترولیت برای حل کردن لایه اکسیدی بیش‌تر شده و در نتیجه، یک لایه اکسیدی به نسبت متخلف‌تر با مقاومت به خوردگی به نسبت پایین‌تر ایجاد می‌گردد. دلیل مقاومت به خوردگی به نسبت پایین‌تر نمونه آندازی شده در الکترولیت (الف) می‌تواند پایین بودن غلظت اسید در الکترولیت باشد که به تبع آن حین آندازینگ غلظت ماده اکسیده پایین بوده و با توجه به دانسیته جریان اعمال شده در مدت زمان معین، پوشش اکسیدی مناسی تشکیل نمی‌گردد.

همان‌گونه که پیش‌تر گفته شد، جهت بررسی اثر زمان و چگالی جریان آندازینگ بر مقاومت به خوردگی آلیاژ، الکترولیت (ب) به عنوان الکترولیت بهینه انتخاب گردید و بر اساس جدول ۳ در زمان‌ها و چگالی جریان‌های گوناگون تعداد ۴ نمونه آندازی شد. نمودار نایکوئیست نمونه‌های شماره ۱ تا ۴ (نمونه‌های آندازی شده در زمان و چگالی جریان‌های متفاوت در حمام بهینه) در شکل ۶ و مشخصه‌های امپدانس الکتروشیمیابی لایه اکسیدی در جدول ۸ آورده شده است. با توجه به جدول ۸، نمونه ۱ دارای کمترین و نمونه ۲ دارای بیش‌ترین مقدار R_2 می‌باشد که به ترتیب مشخصه پایین‌ترین و بالاترین مقاومت به خوردگی می‌باشد.

واضح است که ظرفیت خازنی لایه متراکم به وسیله رابطه ۲ به ضخامت آن لایه وابسته است [۱۷].

$$C_2 = \varepsilon_0 \cdot \varepsilon_r \cdot A / d_2 \quad (2)$$

در این رابطه ε_0 ثابت دی الکتریک در خلا و برابر $8.85 \times 10^{-14} F/cm^2$ ، ε_r ثابت نسبی و برای آلومینا برابر ۱۰ [۱۶]، A مساحت و d_2 ضخامت لایه اکسیدی می‌باشد. مطابق روش پیشنهاد شده به وسیله موتارلیر^۱ و همکارانش [۱۴] و همچنین، بر اساس روش استاندارد ASTM B 457 [۱۷] رابطه (۱) تنها در صورتی قابل قبول است که n_{C2} نزدیک به ۱ باشد. به بیان دیگر، زمانی

^۱-Moutarlier.

چون ضخامت بیشتری دارد، این دو لایه مقاومت به خوردگی نسبتاً مشابهی از خود نشان داده اند^[۹]. با توجه به نتایج بدست آمده به وسیله ژانگ و همکارانش دانسیته جریان خوردگی برای نمونه آندازی شده در حمام اسید کرومیک تقریباً $A/cm^2 \times 10^{-9}$ است که به دانسیته جریان خوردگی نمونه ۲ $A/cm^2 \times 10^{-8} \times 1/38$ نزدیک است. در نتیجه، الکتروولیت بهینه (ب) با ترکیب مندرج در جدول ۲ می‌تواند به عنوان جایگزینی مناسب برای حمام‌های کروماته بکار رود.

نتیجه گیری

در این پژوهش حمام حاوی ۱۰٪ وزنی اسید سولفوریک، ۵٪ وزنی اسید بوریک و ۲٪ وزنی اسید فسفریک به عنوان یک حمام آندازیینگ جدید و جایگزین حمام‌های کروماته استفاده گردید. از مزایای این حمام استفاده توأم از خاصیت هر سه نوع اسید در ایجاد لایه اکسیدی می‌باشد. جهت بررسی مقاومت به خوردگی آلیاژ آندازی شده با استفاده از مدار معادل مناسب در روش امپدانس الکتروشیمیایی پارامترهای مربوطه تعیین گردید. آزمون برون یابی تافل نیز جهت تایید نتایج آزمون EIS استفاده شد. نتایج بیانگر مقاومت به خوردگی مناسب آلیاژ می‌باشد. آلیاژ آندازی شده در حمام یاد شده به مدت ۲۰ دقیقه و چگالی جریان mA/cm^2 ۱، ضخامت لایه اکسیدی و مقاومت به خوردگی بالاتری دارد. ضخامت لایه اکسیدی با روش استفاده از EIS تعیین گردید. از مزایای تعیین ضخامت لایه اکسیدی به این روش، عدم نیاز به آماده سازی نمونه و میکروسکوپ الکترونی است. مهم‌ترین هدف از افروزن اسید فسفریک به این حمام افزایش چسبندگی لایه اکسیدی بوده است لذا، بررسی نقش اسید فسفریک در حمام یاد شده در افزایش چسبندگی لایه اکسیدی، در پژوهش‌های آتی می‌تواند مدنظر قرار گیرد. هم‌چنین، بررسی انواع روش‌های آب بندي آلیاژ آندازی شده به این روش در افزایش مقاومت به خوردگی آلیاژ نقشی موثر خواهد داشت.

دارد [۱۴]. از سوی دیگر، لایه اکسیدی ضخیم‌تر مقاومت بیشتری در برابر نفوذ الکتروولیت خورنده دارد، در نتیجه، مقاومت بیشتری در مقابل خوردگی از خود نشان می‌دهد (نمونه ۲).

مقاومت به خوردگی لایه اکسیدی به عوامل متعددی از جمله ضخامت و ریخت شناسی آن لایه وابسته است. واضح است که لایه اکسید آلومینیوم هرچه ناهمگونی و خشنی بیشتری داشته باشد، نقاط آندی و کاتدی موضعی بر واحد سطح آن لایه افزایش یافته و تمایل به انحلال آن لایه، جهت کاهش انرژی سطحی، افزایش می‌یابد. پیش‌تر اشاره شد که یکی از عوامل تاثیرگذار بر مقدار n مقدار خشنی سطح است. هرچه سطح لایه اکسیدی یکنواخت‌تر و همگن‌تر باشد، مقدار n به ۱ نزدیک‌تر است. با توجه به جدول ۸ نمونه ۲ نزدیک‌ترین مقدار n به ۱ را دارد. در نتیجه، لایه اکسیدی حاصل از این نمونه همگن‌تر و یکنواخت‌تر از دیگر نمونه‌هایست و بیشترین مقاومت به خوردگی را نسبت به سایر نمونه‌ها دارد.

آزمون الکتروشیمیایی برون یابی تافل مربوط به الکتروولیت بهینه

با توجه به شکل ۷ و مقایسه نرخ خوردگی نمونه‌های ۱ تا ۴ برای الکتروولیت بهینه که در جدول ۹ آورده شده، مشاهده می‌گردد که آزمون تافل هم تاییدی بر آزمون امپدانس الکتروشیمیایی می‌باشد و نمونه ۲ کمترین نرخ خوردگی را دارد. نتایج بدست آمده به وسیله ژانگ^۱ و همکارانش [۹] از مقایسه نمونه‌های آندازی شده در الکتروولیت حاوی اسید فسفریک، الکتروولیت حاوی اسید کرومیک، الکتروولیت حاوی اسید بوریک/ سولفوریک و الکتروولیت حاوی اسید فسفریک/ بوریک/ سولفوریک نشان می‌دهد که مقاومت به خوردگی آلیاژ آندازی شده در اسید فسفریک از همه پایین‌تر است در حالی که مقاومت به خوردگی آلیاژ آندازی شده در اسید کرومیک به دلیل ایجاد لایه پسیو و همچنین، ویژگی خود ترمیمی از همه بالاتر است. لایه اکسیدی ایجاد شده به وسیله الکتروولیت اسید فسفریک/ بوریک/ سولفوریک متخخل تر از اکسید ایجاد شده به وسیله اسید بوریک/ سولفوریک بوده، اما

^۱-Zhang.

References

- 1- جی. ویر، تی. بیستک، "پوشش‌های تبدیلی شیمیایی و الکتروولیتی"، ص ۲۲۲-۲۴۷، ترجمه ع. افشار، انتشارات علمی دانشگاه صنعتی شریف، تهران، ۱۳۷۹.
- 2- Y. Huang, H. Shih, H. Huang, J. Daugherty, S. Wu, S. Ramanathan, C. Chang, F. Mansfeld, "Evaluation of the Corrosion Resistance of Anodized Aluminum 6061 using Electrochemical Impedance Spectroscopy (EIS)", *Corrosion Science*, Vol. 50, pp. 3369-3575, 2008.
- 3- G. E. Thompson, L. Zhang, C. J. E. Smith, P. Skeldon, "Boric Sulfuric Acid Anodizing of Aluminum Alloys 2024 and 7075: Film Growth and Corrosion Resistance", *Corrosion Science*, Section 55, p. 11, 1999.
- 4- V. Moutarlier, M. P. Gigandet, J. Pagetti, "Characterisation of Pitting Corrosion in Sealed Anodic Films Formed in Sulphuric, Sulphuric/Molybdate and Chromic Media", *Applied Surface Science*, Vol. 206, pp. 237-249, 2003.
- 5- L. E. Fratila-Apachintei, F. D. Tichelaar, G. E. Thompson, H. Terryn, P. Skeldon, J. Duszczyk, "A Transmission Electron Microscopy Study of Hard Anodic Oxide Layers on AlSi(Cu) Alloys", *Electrochimica Acta*, Vol. 49, pp. 3169-3177, 2004.
- 6- A. Jagminas, D. Bigeliend, I. Mikulskas, "Growth Peculiarities of Aluminum Anodic Oxide at High Voltages in Diluted Phosphoric Acid", *Journal of Crystal Growth*, Vol. 233, pp. 591-598, 2001.
- 7- H. H. Shih, S. L. Tzou, "Study of Anodic Oxidation of Aluminum in Mixed Acid using a Pulsed Current", *Surface and Coating Technology*, Vol. 124, pp. 278-285, 2000.
- 8- T. Takenaka, H. Habazaki, H. Konno, "Formation of Black Anodic Films on Aluminum in Acid Electrolytes Containing Titanium Complex Anion", *Surface and Coating Technology*, Vol. 169/170, pp. 155-159, 2003.
- 9- J. S. Zhang, X. H. Zhao, Y. Zuo, J. P. Xiong, "The Bonding Strength and Corrosion Resistance of Aluminum Alloy by Anodizing Treatment in a Phosphoric Acid Modified Boric Acid/Sulfuric Acid Bath", *Surface and Coating Technology*, Vol. 202, pp. 3149-3156, 2008.
- 10- V. Moutarlier, S. Pelletier, F. Lallemand, M. P. Gigandet, Z. Mekhalif, "Characterisation of the Anodic Layers formed on 2024 Aluminum Alloy, in Tetraborate Electrolyte Containing Molybdate Ions", *Applied Surface Science*, Vol. 252, pp. 1739-1746, 2005.
- 11- L. Song-me, Z. Hong-rui, L. Jian-hua, "Corrosion Behavior of Aluminum Alloy 2024-T3 by 8-hydroxy-quinoline and its Derivative in 3.5% Chloride Solution", *Transactions of Nonferrous Metals Society of China*, Vol. 17, pp. 318-325, 2007.
- 12- E. Ghali, "Corrosion Resistance of Aluminum and Magnesium Alloys", Wiley, New Jersey, p. 137, 2010.
- 13- J. Ren, Y. Zuo, "Study of Electrochemical Behavior and Morphology of Pitting on Anodized 2024 Aluminum Alloy", *Surface and Coating Technology*, Vol. 182, pp. 237-241, 2004.
- 14- V. Moutarlier, M.P. Gigandet, B. Normand, J. Pagetti, "EIS characterisation of anodic films formed on 2024 aluminium alloy, in sulphuric acid containing molybdate or permanganate species", *Corrosion Science*, Vol. 47, pp. 937-951, 2004
- 15- م. احتشام زاده، "مقدمه ای بر کاربرد طیف نگاری امپدانس الکتروشیمیایی (E.I.S) در مطالعه خوردگی"، ص. ۸۳، انتشارات دانشگاه شهید باهنر کرمان، کرمان، ۱۳۸۵.
- 16- J. J. Suay, E. Gimenez, T. Rodriguez, K. Habbib, J. J. Saura, "Characterization of Anodized and Sealed Aluminum by EIS", *Corrosion Science*, Vol. 45, pp. 611-624, 2003.
- 17- ASTM B 457, "Standard Test Method for Measurement of Impedance of Anodic Coatings on Aluminum", *ASTM Annual Book of Standards*, Vol. 192, Springer, 2003.
- 18- A. C. Crossland, H. Habazaki, K. Shumizu, P. Skeldon, G. E. Thompson, G. C. Wood, X. Zhou, C. J. E. Smith, "Residual Flaws Due to Formation of Oxygen Bubbles in Anodic Alumina", *Corrosion Science*, Vol. 41, pp. 1945-1954, 1999.

پیوست ها

جدول ۱- محلول های مورد استفاده جهت آماده سازی سطحی.

زمان (دقیقه)	دما (سانتی گراد)	ترکیب شیمیایی محلول	عملیات آماده سازی سطحی
۳	۶۰	۱۲ g NaOH + ۱۰۰ ml H _۲ O	قلياشوبی
۴	۹۰	۵۴ ml H _۲ PO _۴ (۸۵ wt%) + ۲ ml HNO _۳ (۶۶/۴ wt%) + ۱۵ ml CH _۳ COOH (۹۹ wt%) + ۱۳ ml H _۲ O	پولیش شیمیایی
۲	دمای محیط	۳۵ ml HNO _۳ (۶۶/۴ wt%) + ۶۵ ml H _۲ O	دوده زدایی

جدول ۲- ترکیب های شیمیایی الکتروولیت مورد استفاده جهت آندایزینگ در ۱۰ دقیقه و ۱ mA/cm^۲.

شماره الکتروولیت				
الف	ب	ج	د	نام اسید
		درصد وزنی		اسید سولفوریک
۱۰	۱۰	۱۰	۱۰	(۹۵/۱ درصد وزنی)
۵	۲	۵	۲	اسید بوریک (۹۹/۵ درصد وزنی)
۵	۵	۲	۲	اسید فسفریک (۸۵ درصد وزنی)

جدول ۳- شرایط آندایزینگ آلیاژ آلمینیوم در الکتروولیت بهینه (الکتروولیت(ب)).

آب بندی	مدت زمان (دقیقه)	چگالی جریان (mA/cm ^۲)	شماره نمونه
ندارد	۱۰	۱	۱
ندارد	۲۰	۱	۲
ندارد	۱۰	۲	۳
ندارد	۲۰	۲	۴

جدول ۴- ترکیب شیمیایی آلیاژ آلمینیوم T3-2024 قبل از پولیش شیمیایی.

Ti	Cr	Si	Zn	Fe	Mn	Mg	Cu	Al	نیشان شیمیایی عنصر آلیاژی
۰/۰۳	۰/۰۱	۰/۱	۰/۱۵	۰/۱۸	۰/۵۷	۱/۵۵	۴/۶۲	۹۲/۷۹	میانگین درصد وزنی

جدول ۵- ترکیب شیمیایی آلیاژ آلمینیوم 2024-T3 پس از پولیش شیمیایی.

Ti	Cr	Si	Zn	Fe	Mn	Mg	Cu	Al	نمانگین درصد وزنی	نشان شیمیایی عنصر آلیاژی
۰/۰۳	۰/۰۱	۰/۱	۰/۱۶	۰/۱۷	۰/۵۶	۱/۵۷	۴/۴۵	۹۲/۹۵		

جدول ۶- ویژگی های امپدانس الکتروشیمیایی نمونه های آندایز شده در الکتروولیت های (الف) تا (د).

n _{C2}	C ₂ (μF/cm ²)	R ₂ (Ω.cm ²)	شماره الکتروولیت
۰/۸۵	۰/۷۴	۰/۷۶×۱۰ ^۷	الف
۰/۸۹	۰/۶۶	۰/۹×۱۰ ^۷	ب
۰/۸۹	۰/۶۹	۰/۸×۱۰ ^۷	ج
۰/۸۷	۰/۷۳	۰/۷۶×۱۰ ^۷	د

جدول ۷- نتایج آزمون برون یابی تافل مربوط به الکتروولیت های (الف) تا (د).

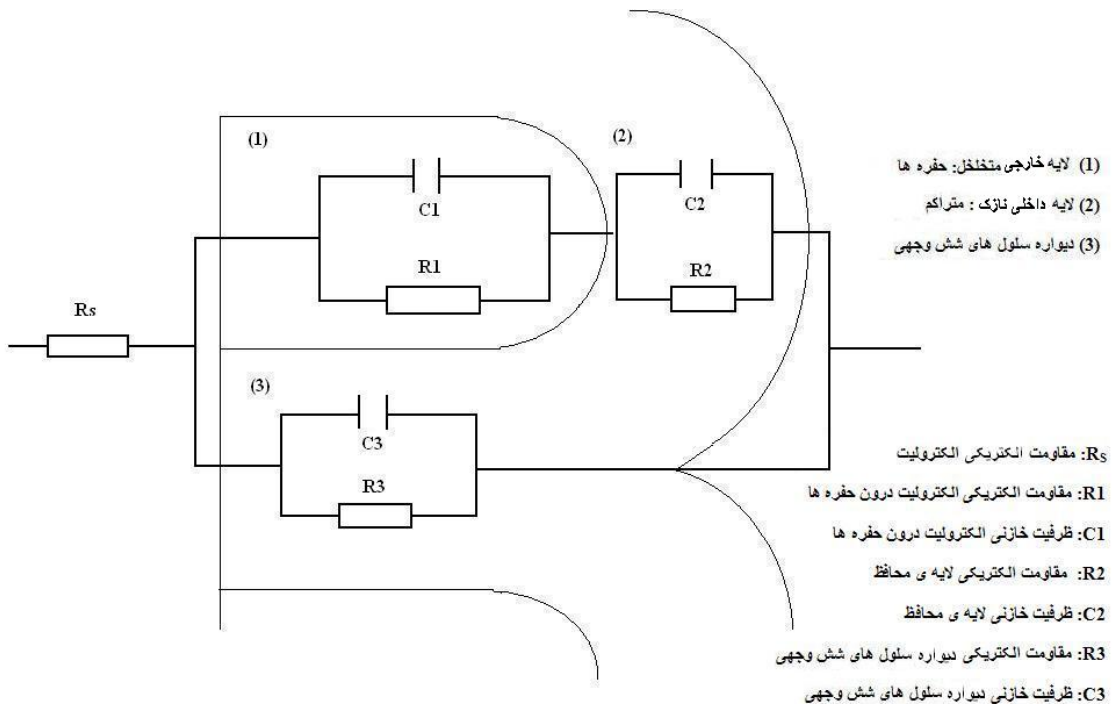
نرخ خوردگی (میلی متر در سال)	چگالی جریان خوردگی (i _{corr}) (A/cm ²)	ولتاژ خوردگی (E _{corr}) (V)	الکتروولیت
۳/۹۷×۱۰ ^{-۳}	۳/۶۴×۱۰ ^{-۷}	-۰/۶۲	الف
۲/۶۷×۱۰ ^{-۳}	۲/۴۵×۱۰ ^{-۷}	-۰/۵۱	ب
۳/۳۸×۱۰ ^{-۳}	۳/۱۰×۱۰ ^{-۷}	-۰/۵۵	ج
۳/۷۹×۱۰ ^{-۳}	۳/۴۸×۱۰ ^{-۷}	-۰/۵۵	د

جدول ۸- مشخصه های امپدانس الکتروشیمیایی و ضخامت لایه اکسیدی مربوط به الکتروولیت بهینه.

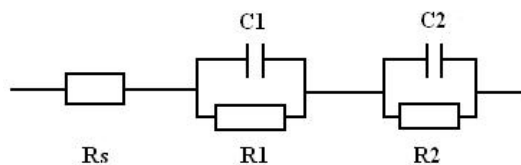
d ₂ (nm)	n _{C2}	C ₂ (μF/cm ²)	R ₂ (Ω.cm ²)	نمونه
۱۳/۴	۰/۸۹	۰/۶۶	۰/۹×۱۰ ^۷	۱
۱۵/۳	۰/۹۳	۰/۵۸	۱/۳×۱۰ ^۷	۲
۱۴/۵	۰/۹۱	۰/۶۱	۱/۱×۱۰ ^۷	۳
۱۳/۸	۰/۹۱	۰/۶۴	۱×۱۰ ^۷	۴

جدول ۹- نتایج آزمون برون یابی تافل مربوط به الکتروولیت بهینه(الکتروولیت(ب)).

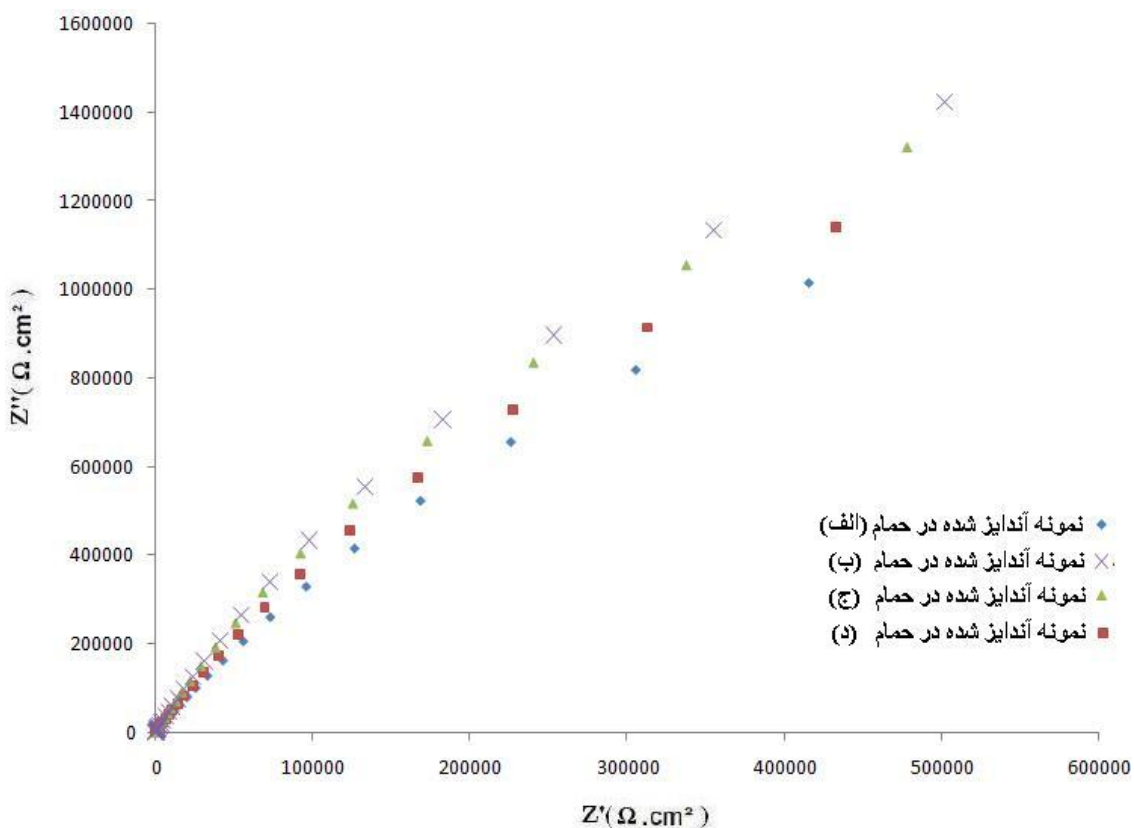
نرخ خوردگی (میلی متر در سال)	چگالی جریان خوردگی (i _{corr}) (A/cm ²)	ولتاژ خوردگی (E _{corr}) (V)	نمونه
۲/۶۷×۱۰ ^{-۳}	۲/۴۵×۱۰ ^{-۷}	-۰/۵۱	۱
۱/۵×۱۰ ^{-۴}	۱/۳۸×۱۰ ^{-۸}	-۰/۶۶	۲
۲/۴۶×۱۰ ^{-۴}	۲/۲۶×۱۰ ^{-۸}	-۰/۵۲	۳
۱/۰۵×۱۰ ^{-۳}	۹/۶۵×۱۰ ^{-۸}	-۰/۵۴	۴



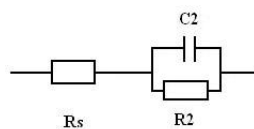
شکل ۱- مدار الکتریکی معادل لایه اکسید آلومینیوم [۱۴].



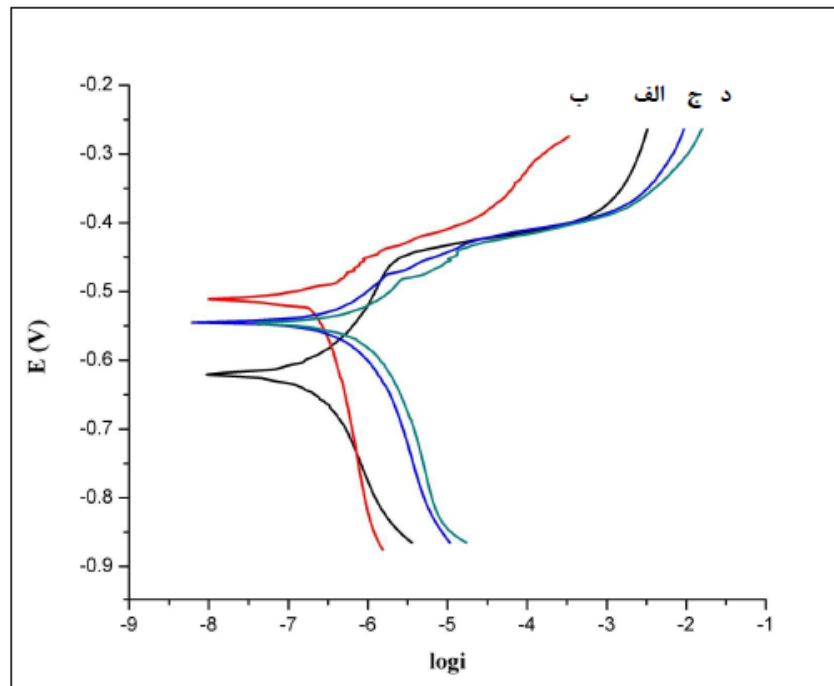
شکل ۲- حالت ساده شده مدار معادل شکل ۱.



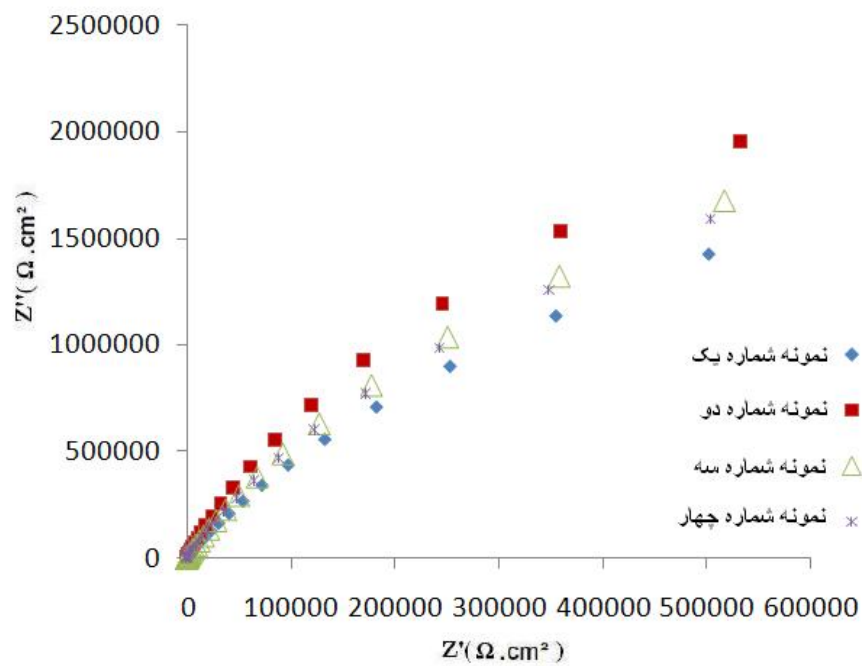
شکل ۳- نمودار نایکوئیست آلیاژهای آندازی شده در الکتروولیت (الف) تا (د).



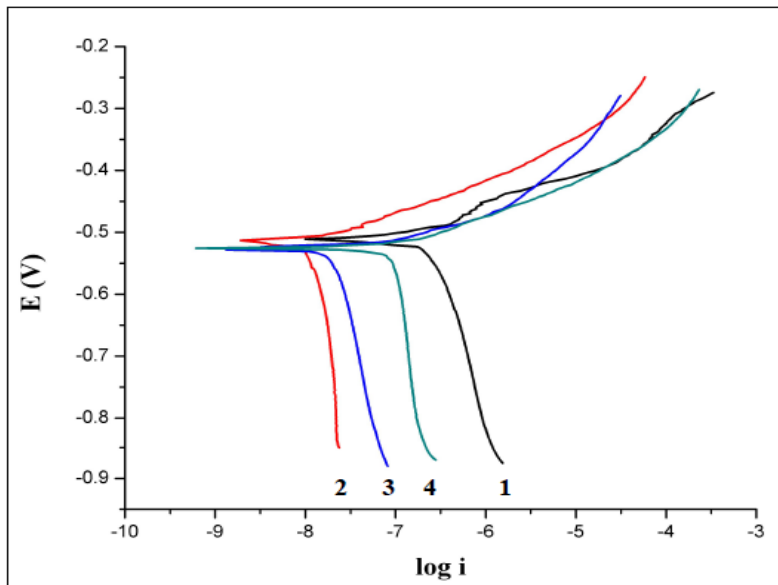
شکل ۴- مدار معادل لایه اکسید آلومینیوم آب بندی نشده.



شکل ۵- نمودار آزمون برون یابی تافل آلیاژهای آندازی شده در الکتروولیت های (الف) تا (د).



شکل ۶- نمودار نایکوئیست نمونه های شماره ۱ تا ۴ مربوط به الکتروولیت بهینه (الکتروولیت(ب)).



شکل ۷- نمودار آزمون برون یابی تافل نمونه های ۱ تا ۴ مربوط به الکتروولیت بهینه (الکتروولیت (ب)).

